

I-136 プレートガーダーの耐荷力に関する研究

—数学的モデルによる組合せ荷重下における耐荷力の解析—

(株) 神戸製鋼所 正員 森脇 良一
 " " 藤野 真元
 " " ○滝本哲四郎

1 まえがき 既報¹⁾, 2)では, セン断力, 曲げモーメントのいずれかが作用した場合の耐荷力を対象としたが, 本研究は, セン断力と曲げモーメントを同時に受けるプレートガーダーの耐荷力に関する数学的モデルによる解析法を示し, 実験との比較検討をおこなつたものである。

2 解析

a) 対象とする崩壊モード; 組合せ荷重下での崩壊モードとして, (1) 曲げモーメントにより, 試験パネルをふくめた桁全体が横倒れ座屈するもの(L モード), (2) ウエブ座屈後, 軸力により, 圧縮フランジとウェブ有効巾で形成する T 断面が横倒れ座屈するもの(T モード), (3) ウエブ座屈後, 張力場作用が完全に発達し, フランジに塑性ヒンジを形成するもの(S モード)の三種類について考慮した。

b) 解析に用いた基本的な仮定; 材料は理想弾塑性体とし, Mises の降伏条件に従うものとした。また, 初期不完全因子である残留応力としては, 既報²⁾の近似式から計算される値を用いた。

c) 解析のモデルと解法; 解析モデルとしては, 図-1(a)にみるようひびきの断面を, 上下フランジ, ウエブの各部材の板巾方向に 40 の要素に分割し, 各要素の応力は要素中央の応力をもって代表させ, 応力の種類としては, 図-1(a)にみるよう, 上下フランジと垂直補剛材は軸応力のみ, ウエブは 2 方向の軸応力とせん断応力のみを考えた。解析はある荷重増分区間では荷重増分と応力増分とが線形的関係にあるとした。このときの荷重増分量は, 分割要素を 1 個ずつ降伏せしめるように設定し, その計算方法は文献³⁾によった。

また, 荷重増分と応力増分の関係は以下のように考えた。

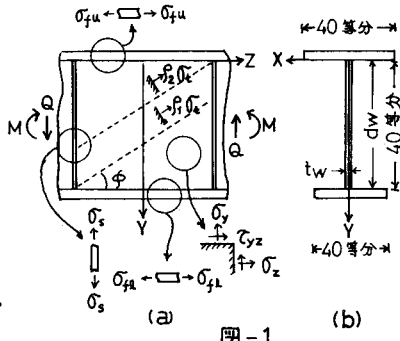


図-1

1) ウエブ座屈前はせん断荷重の増分 ΔQ はウェブの弾性断面で受けもたれ, 曲げモーメントの増分 ΔM はウェブとフランジの弾性断面で受けもたれるものとすると, 次の関係式が導かれる。ここに, $\int dA$ は面積分を, A_{we}

$$\Delta \tilde{\sigma}_{yz} = \Delta Q / \int_{A_{we}} dA \quad \text{---①} \quad \Delta \tilde{\sigma}_z = \Delta M (y_{ce1} - y) / I_{xe1} \quad \text{---②}$$

$$\Delta \tilde{\sigma}_{fx} = \Delta M (y_{ce1} - y) / I_{xe1} \quad \text{---③} \quad \Delta \tilde{\sigma}_{fy} = \Delta M (y_{ce1} - y) / I_{xe1} \quad \text{---④} \quad \Delta \tilde{\sigma}_s = \Delta \tilde{\sigma}_y = 0 \quad \text{---⑤}$$

$$y_{ce1} = \int_{A_{e1}} y dA / \int_{A_{e1}} dA \quad \text{---⑥} \quad I_{xe1} = \int_{A_{e1}} y^2 dA - y_{ce1}^2 \int_{A_{e1}} dA \quad \text{---⑦}$$

, A_{fle} , A_{fe} , A_s , A_{e1} はそれぞれウェブ, 上フランジ, 下フランジ, 垂直補剛材, 全断面の弾性領域を示す。

2) ウエブ座屈後は張力場作用を考慮した。図-1 に示す斜張力の方向(中)については, 既報¹⁾と同様な方法で与えられるとして, 座屈後のウェブはこの方向に $P \cdot \tilde{\sigma}_t$ なる引張応力が生じるとした。 P は平均化係数であり, $\tilde{\sigma}_t = 1$, $P_2 = 1/(1 + \alpha^{3/2})$, (α ; アスペクト比)とした。また, 曲げモーメントは, 圧縮フランジ, ウエブの有効巾および引張側の弾性断面(この領域を A_{e2} とする)で受けもたれるとした。これから次の関係式が導かれる。

$$\Delta \tilde{\sigma}_z = \{ \Delta M (y_{ce2} - y) / I_{xe2} \} + P \Delta \tilde{\sigma}_t (1 + \cos 2\phi) / 2 \quad \text{---⑧} \quad \Delta \tilde{\sigma}_s = \Delta Q \tan \phi \alpha / \int_{A_s} dA \quad \text{---⑨}$$

$$\Delta \tilde{\sigma}_y = P \Delta \tilde{\sigma}_t (1 - \cos 2\phi) / 2 \quad \text{---⑩} \quad \Delta \tilde{\sigma}_{fx} = \{ \Delta M (y_{ce2} - y) / I_{xe2} \} - \left\{ (1 - \frac{y_h}{d_w}) \Delta \tilde{\sigma}_t (1 + \cos 2\phi) \int_{A_{we}} P dA / 2 \int_{A_{fe}} dA \right\} \quad \text{---⑪}$$

$$\Delta \tilde{\sigma}_{yz} = P \Delta \tilde{\sigma}_t \sin 2\phi / 2 \quad \text{---⑫} \quad \Delta \tilde{\sigma}_{fy} = \{ \Delta M (y_{ce2} - y) / I_{xe2} \} - \left\{ \frac{y_h}{d_w} \Delta \tilde{\sigma}_t (1 + \cos 2\phi) \int_{A_{we}} P dA / 2 \int_{A_{fe}} dA \right\} \quad \text{---⑬}$$

$$\text{ここで, } \Delta \tilde{\sigma}_t = \Delta Q / \sin \phi \cos \phi \int_{A_{we}} P dA \quad \text{---⑭} \quad y_h = \int_{A_{we}} y dA / \int_{A_{we}} dA \quad \text{---⑮}$$

$$y_{ce2} = \int_{A_{e2}} y dA / \int_{A_{e2}} dA \quad \text{---⑯} \quad I_{xe2} = \int_{A_{e2}} y^2 dA - y_{ce2}^2 \int_{A_{e2}} dA \quad \text{---⑰}$$

荷重増分区間では以上のような関係が成立するとし、ウェブ座屈の判定としては、(18)式を用いた。この式は、Kollbrunner の組合せ座屈の式に、F.Chwoda の板の塑性座屈の考え方を導入して求められたものである。

$$Q_{cr}^c = \int_{A_{ew}} k_{sc(b)} \sigma_e dA \quad \text{--- (18)} \quad \sigma_e = E \pi^2 t_w^2 / 12(1 - \nu^2) d_w^2 \quad \text{--- (19)}$$

$$\text{ここに, } k_{sc(b)} = -(1+C)k_s^2 k_b \eta + \sqrt{16k_s^2 k_b^4 + (1-C)k_s^4 k_b^2 \eta^2} / \{4k_b^2 + 2(1-C)k_s^2 \eta^2\} \quad \text{--- (20)}$$

η は圧縮縫應力のせん断應力に対する比を示し、 k_s, k_b はそんぞれ純せん断、純曲げを受ける板の座屈係数を示す。

また、桁全体の横揃れ座屈の判定としては、座屈基本式に(21)式を用いた。ここに、 I_{ye}, I_{we}, K_T は弾性域から求められる y 軸まわりの断面 2 次モーメント、 ν は 2 次モーメント、 S_t は T 断面の横揃れ剛度である。また、 \bar{K} は、弹性断面から求められるせん断中心のまわりの應力トルクである。 L_e は有効横構間隔である。

$$M_{cr}^c = \pi \sqrt{E I_{ye} (G K_T + \bar{K} + \pi^2 E I_{we} / L_e^2)} / L_e \quad \text{--- (21)}$$

前記の荷重-応力関係を満たしながら、(18)式の判定に合致するまで荷重を増加し、(20)式の判定に合致した場合は、その時の外力をもって耐荷力とし、崩壊モードは L モードである。(19)式の判定に合致した場合には、その後の荷重増加につれては、前記の荷重-応力関係が成立するとし、(20)式の他に、T 断面の横揃れ座屈の判定として、座屈基本式に(21)式を用いることにし(22)式中、 $\int_A dA$ は T 断面の面積分を、 y_0 は T 断面のせん断中心と重心との距離を、 I_{yt}, I_{wt}, K_T は T 断面弾性部分の諸剛性を、 \bar{K} は応力トルクを示す。), 前記の S モードの崩壊につけては既報と同様の手法(ただし、本研究では直硬化域の座屈は考えてない。)によって判定されるとし、これらのはずれかの判定に合致するまで荷重を増加した。

$$P_{cr}^c = \int_T \sigma^c dA = \{\sqrt{R(R+4\pi^2 EI_{yt} Y_0^2 / L_e^2)} - R\} / 2Y_0^2 \quad \text{--- (22)} \quad R = G K_T + \bar{K} + \pi^2 E I_{yt} Y_0^2 / L_e^2 \quad \text{--- (23)}$$

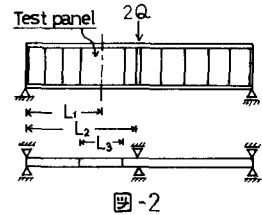


図-2

3 研究 実験データを使った解析の結果と実験値および崩壊モードの比較の 1 例を表-1 に示した。実験は図-2 に示すような方法でなされ、モーメントアームは支持卓から試験パネルの中央までの距離(図中の L_1) とし、桁全体の横揃れに関しては、一端単純支持他端固定と考え、横倒れ防止板間隔(図中の L_2) の 0.7 倍をもって(20)式の L_e の値とし、T 断面の横揃れに関しては、両端固定と考え、垂直補剛材間隔(図中の L_3) の 0.5 倍をもって(22)式の L_{et} の値とした。また表-1 では、ウェブの支持条件を上下端固定左右端単純支持とした場合のものを 1 例として示したが、以上の解析法によって、組合せ耐荷力の値と、今まで不明確であった崩壊モードが、かなり正確に知られることがわかった。最後に、本研究は材料を理想弾塑性体として解析したが、実際は K_T などの剛性が弾性域のみから求められるものよりも大きいと予想され、降伏後の諸剛性的変化が今後の重要な研究課題と思われる。なお、本研究にあたり、田中悟朗君の協力があったことを付記する。

4 参考文献

- 1)森脇良一他，“プレートガーダーの耐荷力に関する研究”，昭和48年度，建築学会年次学術講演会集
- 2)森脇良一他，“プレートガーダーの耐荷力に関する研究”，昭和49年度年次学術講演会集
- 3)山口嘉昭著，構造工学講座，II-2-A，培風館，昭和47年
- 4)Kollbrunner & Meister, Ausbeulen, Springer-Verlag, 1958
- 5)山本善之著，塑性・塑性・塑性，朝倉書店，昭和48年
- 6)T.V.Galambos著，福本博士・西野立雄訳，鋼構造部材と骨組，丸善，昭和45年
- 7)C.Chern & A.Ostapenko, "Unsymmetrical Plate Girder Under Shear And Moment", MIT Engineering Laboratory Report No. 320-3, 1970

表-1

| Test No. | $1/\eta$ | λ_c | Q_u^c / Q_u | mode | Source |
|-----------|----------|-------------|---------------|------|-------------|
| UG-4-6 | 2.29 | 2.20 | 1.00 | S | A.Ostapenko |
| UG-4-2 | 1.63 | 4.02 | 1.12 | S | A.Ostapenko |
| F10-T3 | 1.34 | 1.61 | 0.91 | S | B.T.Yen |
| F10-T2 | 1.17 | 1.65 | 0.97 | S | B.T.Yen |
| G-1 | 1.14 | 0.62 | 1.02 | S | T.Okumura |
| GCY1-2-3 | 1.04 | 0.80 | 1.17 | S | Y.Moriwaki |
| UG-4-5 | 0.92 | 1.79 | 1.00 | S | A.Ostapenko |
| G-3 | 0.87 | 0.78 | 0.87 | S | T.Okumura |
| G-2 | 0.86 | 0.61 | 1.00 | S | T.Okumura |
| HSLA-T1 | 0.80 | 1.79 | 1.00 | S | H.S.Lew |
| HS2-T1 | 0.74 | 1.78 | 1.11 | S | H.S.Lew |
| G-4 | 0.73 | 0.76 | 0.83 | S | T.Okumura |
| G8-T1 | 0.72 | 2.12 | 0.93 | S | K.Basler |
| G8-T3 | 0.69 | 3.24 | 0.97 | S | K.Basler |
| GCY1-3-6 | 0.66 | 0.93 | 1.02 | L | Y.Moriwaki |
| AaCY1-2-8 | 0.61 | 1.09 | 1.09 | T | Y.Moriwaki |
| F10-T1 | 0.59 | 1.53 | 0.98 | S | B.T.Yen |
| GCX1-4 | 0.56 | 1.00 | 1.03 | L | Y.Moriwaki |
| GCY1-4 | 0.54 | 0.90 | 1.05 | L | Y.Moriwaki |
| HSLA-T2 | 0.53 | 1.57 | 0.90 | S | H.S.Lew |
| HS2-T2 | 0.49 | 1.55 | 1.10 | S | H.S.Lew |
| G8-T3 | 0.48 | 1.89 | 0.98 | S | K.Basler |
| HSLA-T3 | 0.46 | 1.26 | 0.99 | S | H.S.Lew |
| AaCY1-3-6 | 0.44 | 1.16 | 1.10 | T | Y.Moriwaki |
| GCY1-5 | 0.43 | 1.05 | 1.13 | L | Y.Moriwaki |
| UG-4-3 | 0.43 | 4.06 | 1.10 | L | A.Ostapenko |
| HS2-T3 | 0.42 | 1.26 | 1.07 | S | H.S.Lew |
| AaCY1-4-1 | 0.39 | 0.81 | 1.18 | T | Y.Moriwaki |
| AaCY1-4-2 | 0.38 | 1.07 | 1.08 | T | Y.Moriwaki |
| UG-4-4 | 0.31 | 2.00 | 1.12 | L | A.Ostapenko |

$$* 1/\eta = C/\sigma, \lambda_c = \sqrt{Q_{yw}/(\sigma_{cr}^2 + 3C_{cr}^2)}$$